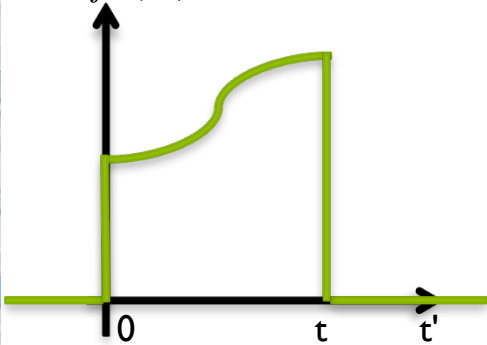


Teoria de Perturbação para problemas dependentes do tempo.

• $\tilde{W}_{fi}(t')$



$$\tilde{W}(t') = \begin{cases} 0 & \text{para } t' < 0 \\ W(t') & \text{para } 0 \leq t' \leq t \\ 0 & \text{para } t' > t \end{cases}$$

↑ { Probabilidade de achar o sistema em $|\varphi_f\rangle$ no instante t , sabendo que ele estava em $|\varphi_i\rangle$ no instante $t = 0$.

- Em primeira ordem, $\mathcal{P}_{if}(t) = \frac{1}{\hbar^2} \left| \int_0^t e^{i\omega_{fi}t'} W_{fi}(t') dt' \right|^2$, é proporcional ao quadrado da transformada de Fourier de $W_{fi}(t) = \langle \varphi_f | W(t) | \varphi_i \rangle$, um elemento de matriz da perturbação entre os estados inicial e final.
- Note que a transformada de Fourier de uma função do tempo é uma função de frequência e no caso ela é calculada na frequência $\omega = \omega_{fi} = \frac{E_f - E_i}{\hbar}$.
- Obtivemos esse resultado com ajuda de $\begin{cases} |\psi(t)\rangle = \sum_n C_n(t) |\varphi_n\rangle \\ C_n(t) = b_n(t) e^{-\frac{iE_n t}{\hbar}} \end{cases}$ na equação de Schrödinger dependente do tempo. Isso levou à (sem aproximações):

$$i\hbar \frac{d}{dt} b_n(t) = \lambda \sum_k e^{i\omega_{nk}t} \hat{W}_{nk}(t) b_k(t)$$

Métodos Aproximativos para problemas dependentes do tempo.

- A teoria de perturbação foi obtida, substituindo a série hierárquica de potências ($\lambda \ll 1$): $b_n(t) = b_n^{(0)}(t) + \lambda b_n^{(1)}(t) + \lambda^2 b_n^{(2)}(t) + \dots + \lambda^r b_n^{(r)}(t)$ na equação do slide anterior e tomando os coeficientes de λ^r em ambos os lados.

Isso resultou em:
$$i\hbar \frac{d}{dt} b_n^{(r)}(t) = \lambda \sum_k e^{i\omega_{nk}t} \hat{W}_{nk}(t) b_k^{(r-1)}(t).$$

- Aprendemos que $\begin{cases} b_n^{(0)}(t) = \delta_{ni} \\ b_n^{(r)}(0) = 0, r \geq 1 \end{cases}$ garante à condição inicial $|\psi(0)\rangle = |\varphi_i\rangle$.
- Para $r = 1$, obtemos a teoria em primeira ordem

$$i\hbar \frac{d}{dt} b_f^{(1)}(t) = \lambda \sum_k e^{i\omega_{fk}t} \hat{W}_{fk}(t) b_k^{(0)}(t) = \lambda \sum_k e^{i\omega_{fk}t} \hat{W}_{fk}(t) \delta_{ki} = e^{i\omega_{fi}t} W_{fi}(t)$$

$$b_f^{(1)}(t) = \frac{1}{i\hbar} \int_0^t e^{i\omega_{fi}t'} \hat{W}_{fi}(t') dt',$$

- Note também que ao comparar a equação acima (primeira ordem) com a do slide anterior, verifica-se que o efeito prático foi trocar $b_k(t)$ por $b_k(0) = b_k^{(0)}(t)$.
- Assim, a solução em primeira ordem vai ser boa, se $b_k(t)$ não diferir muito de $b_k(0)$. Quando t cresce, nada impede que as outras ordens fiquem importantes.

Caso especial: uma perturbação senoidal ou constante.

F789

Aula 21

- Definição do problema $\hat{W}(t) = \begin{cases} \hat{W} \sin \omega t \\ \hat{W} \cos \omega t \end{cases} \Rightarrow \hat{W} = \hat{W}(\mathbf{R}, \mathbf{P})$ é geral, mas não depende do tempo.
- Exemplos de utilidade desta perturbação estão nos complementos A_{XIII} e B_{XIII}. O mais notório é o cálculo de $\mathcal{P}_{if}(t)$, a probabilidade induzida por uma onda eletromagnética para uma transição entre os estados $|\varphi_i\rangle$ e $|\varphi_f\rangle$.
- Os elementos de matriz $\hat{W}_{fi}(t)$ (caso seno).

$$\hat{W}_{fi}(t) = \hat{W}_{fi} \sin \omega t = \frac{\hat{W}_{fi}}{2i} (e^{+i\omega t} - e^{-i\omega t}) \text{ em } b_f^{(1)}(t) = \frac{1}{i\hbar} \int_0^t e^{i\omega_{fi}t'} \hat{W}_{fi}(t') dt',$$

$$\text{leva à } -\frac{\hat{W}_{fi}}{2\hbar} \int_0^t [e^{i(\omega_{fi}+\omega)t'} - e^{i(\omega_{fi}-\omega)t'}] dt' = -\frac{\hat{W}_{fi}}{2\hbar} \left[\frac{e^{i(\omega_{fi}+\omega)t} - 1}{i(\omega_{fi}+\omega)} - \frac{e^{i(\omega_{fi}-\omega)t} - 1}{i(\omega_{fi}-\omega)} \right]$$

$$\text{Isto é, } b_f^{(1)}(t) = \frac{\hat{W}_{fi}}{2i\hbar} \left[\frac{1 - e^{i(\omega_{fi}+\omega)t}}{\omega_{fi}+\omega} - \frac{1 - e^{i(\omega_{fi}-\omega)t}}{\omega_{fi}-\omega} \right].$$

- Para finalmente, obtermos:

$$\mathcal{P}_{if}(t) = \lambda^2 |b_f^{(1)}(t)|^2 = \frac{|W_{fi}|^2}{4\hbar^2} \left| \frac{1 - e^{i(\omega_{fi}+\omega)t}}{\omega_{fi}+\omega} - \frac{1 - e^{i(\omega_{fi}-\omega)t}}{\omega_{fi}-\omega} \right|^2$$

Solução aproximada da Equação de Schrödinger

- O que mudaria se fosse o $\hat{W} \cos \omega t$? Só o sinal relativo das frações

$$\mathcal{P}_{if}(t) = \lambda^2 |b_f^{(1)}(t)|^2 = \frac{|W_{fi}|^2}{4\hbar^2} \left| \frac{1 - e^{i(\omega_{fi} + \omega)t}}{\omega_{fi} + \omega} + \frac{1 - e^{i(\omega_{fi} - \omega)t}}{\omega_{fi} - \omega} \right|^2$$

- Para obter uma perturbação independente do tempo, basta fazer $\omega = 0$, no caso cosseno. Isso leva uma probabilidade de transição igual à:

$$\mathcal{P}_{if}(t) = \frac{|W_{fi}|^2}{4\hbar^2} \left| \frac{1 - e^{i\omega_{fi}t}}{\omega_{fi}} + \frac{1 - e^{i\omega_{fi}t}}{\omega_{fi}} \right|^2 = \frac{|W_{fi}|^2}{4\hbar^2} \left| \frac{2(1 - e^{i\omega_{fi}t})}{\omega_{fi}} \right|^2 = \frac{|W_{fi}|^2}{\hbar^2} \frac{|1 - e^{i\omega_{fi}t}|^2}{\omega_{fi}^2}$$

$$\text{ou ainda } \mathcal{P}_{if}(t) = \frac{|W_{fi}|^2}{\hbar^2} \left| \frac{e^{i\frac{\omega_{fi}}{2}t} (e^{-i\frac{\omega_{fi}}{2}t} - e^{+i\frac{\omega_{fi}}{2}t})}{\omega_{fi}} \right|^2 = \frac{|W_{fi}|^2}{\hbar^2} \left| \frac{2ie^{i\frac{\omega_{fi}}{2}t} \sin \frac{\omega_{fi}}{2}t}{\omega_{fi}} \right|^2$$

Para finalmente, termos

$$\mathcal{P}_{if}(t) = \frac{|W_{fi}|^2}{\hbar^2} \left[\frac{\sin \frac{\omega_{fi}}{2}t}{\frac{\omega_{fi}}{2}} \right]^2$$

- Para entender fisicamente o que está acontecendo, estudaremos transições entre estados discretos e entre discreto e um conjunto do contínuo.

Teoria de Perturbação dependente do tempo: potencial constante

$$W(t) = \begin{cases} 0 & \text{se } t < 0 \\ W & \text{se } t \geq 0 \end{cases} \Rightarrow \begin{cases} W \text{ é independente de } t, \text{ mas pode depender} \\ \text{de } \mathbf{x} \text{ e } \mathbf{p}. \end{cases}$$

Se em $t = 0$ o sistema estiver em $|i\rangle$, podemos escrever:

$$c_n^{(0)} = c_n^{(0)}(0) = \delta_{in}$$

$$\begin{aligned} c_n^{(1)} &= -\frac{i}{\hbar} W_{ni} \int_0^t e^{i\omega_{ni}t'} dt' = -\frac{i}{\hbar} W_{ni} \frac{1}{i\omega_{ni}} e^{i\omega_{ni}t'} \Big|_0^t = \frac{W_{ni}}{\hbar\omega_{ni}} (1 - e^{i\omega_{ni}t}) \\ &= \frac{W_{ni}}{\hbar\omega_{ni}} e^{\frac{i\omega_{ni}t}{2}} \cdot (-2i) \left(\frac{e^{\frac{i\omega_{ni}t}{2}} - e^{-\frac{i\omega_{ni}t}{2}}}{2i} \right) = -\frac{2ie^{\frac{i\omega_{ni}t}{2}} W_{ni}}{\hbar\omega_{ni}} \sin \frac{\omega_{ni}t}{2} \end{aligned}$$

$$\text{e } \therefore P(i \rightarrow n) = |c_n^{(1)}(t)|^2 = \frac{4|W_{ni}|^2}{|E_n - E_i|^2} \sin^2 \frac{\omega_{ni}t}{2} \rightarrow \text{Conforme slide anterior}$$

Suponha que existam muitos estados finais \rightarrow praticamente um contínuo de

energias $\omega \equiv \frac{E_n - E_i}{\hbar}$ com ω variando continuamente. Vamos plotar $\frac{|c_n^{(1)}(t)|^2}{|W_{ni}|^2}$

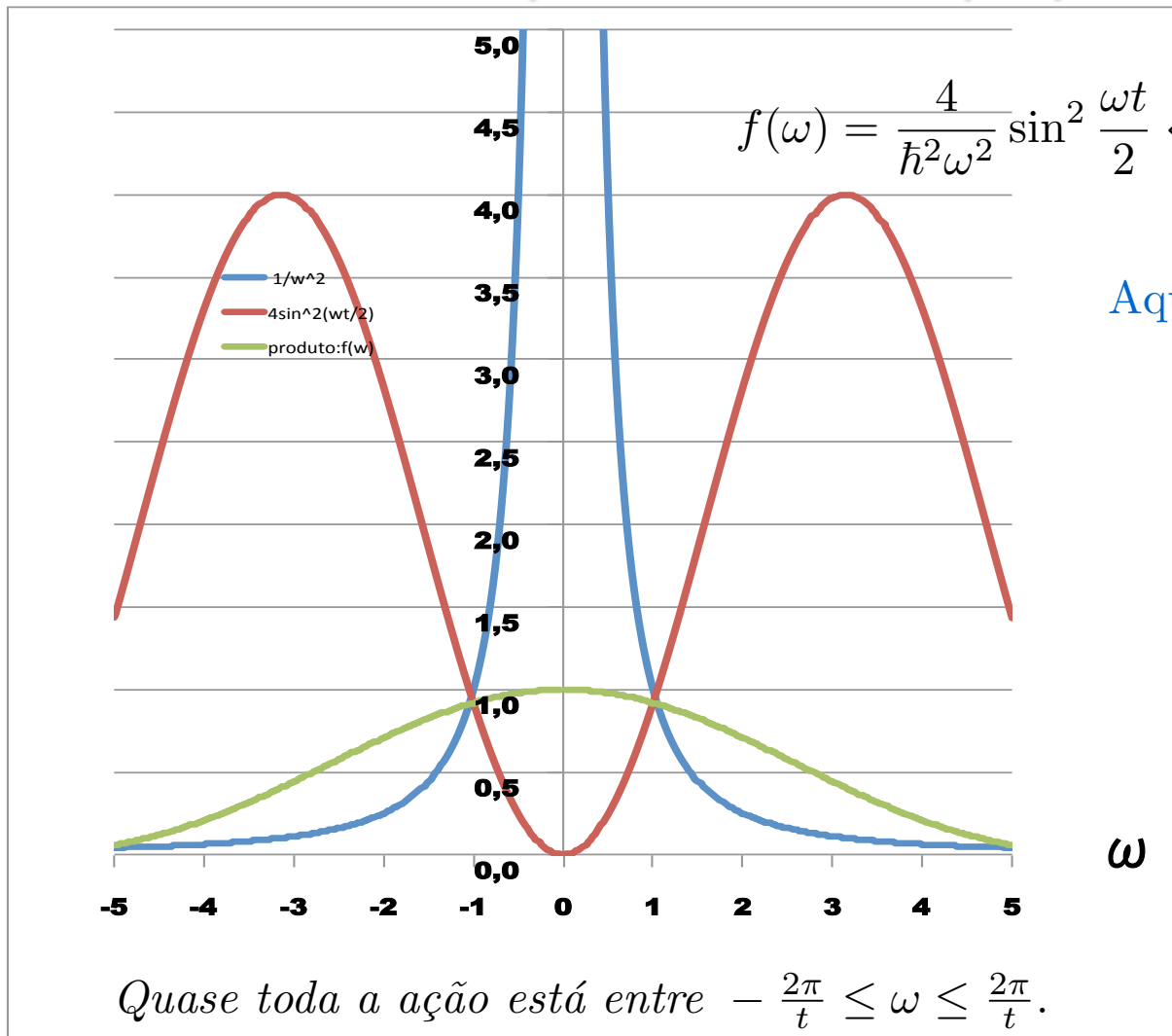
como função de ω para um dado t . Isto é, no slide seguinte apresentamos uma

figura de $f(\omega) = \frac{|c_n^{(1)}(t)|^2}{|W_{ni}|^2} = \frac{4}{\hbar^2\omega^2} \sin^2 \frac{\omega t}{2}$. Note: $\lim_{\omega \rightarrow 0} f(\omega) = \frac{4}{\hbar^2\omega^2} \left(\frac{\omega t}{2}\right)^2 = \frac{t^2}{\hbar^2}$

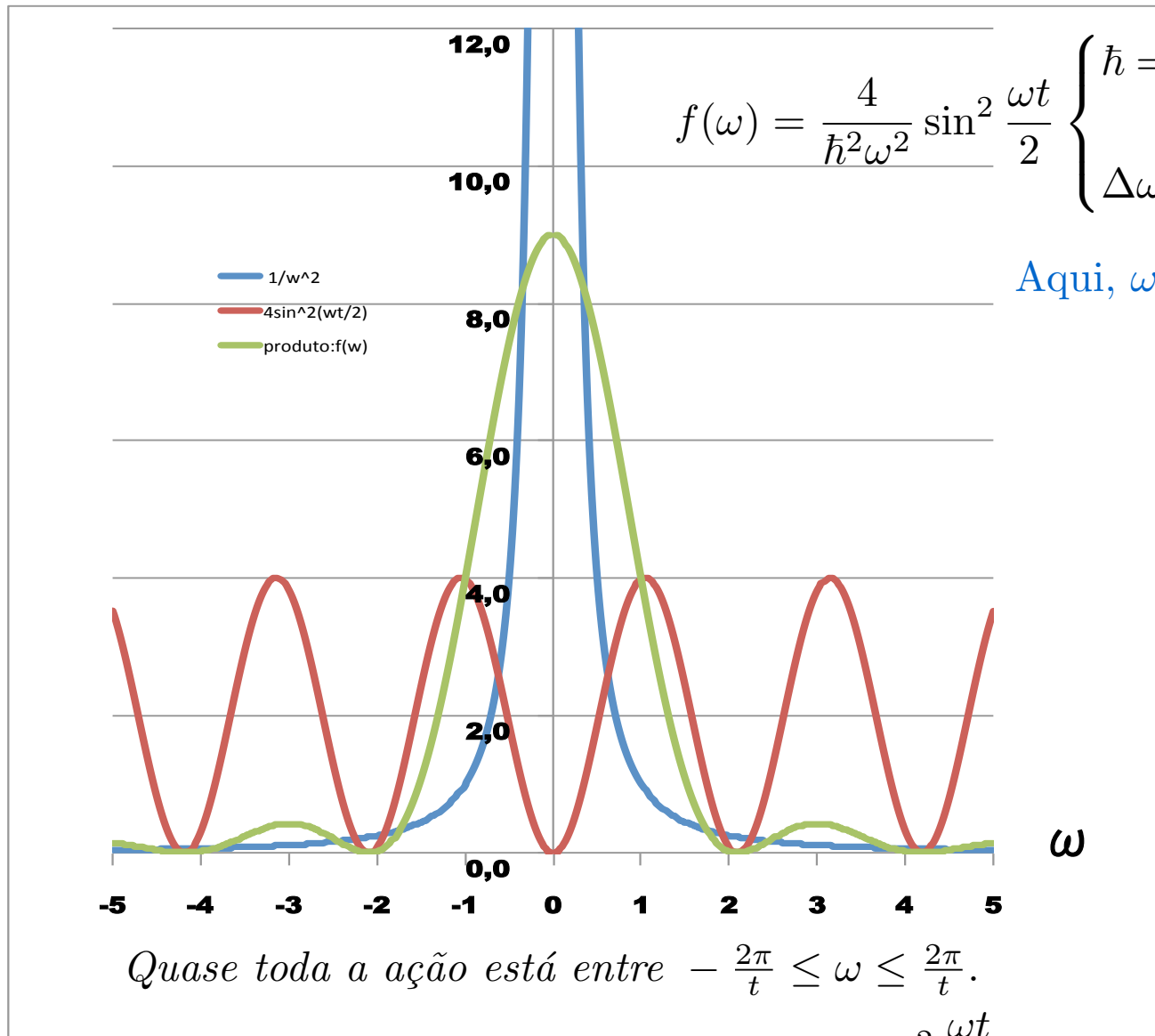
A amplitude cresce quadraticamente no tempo se $\omega \approx 0$.

↳ Estranho! Porque?

Teoria de Perturbação dependente do tempo: potencial constante



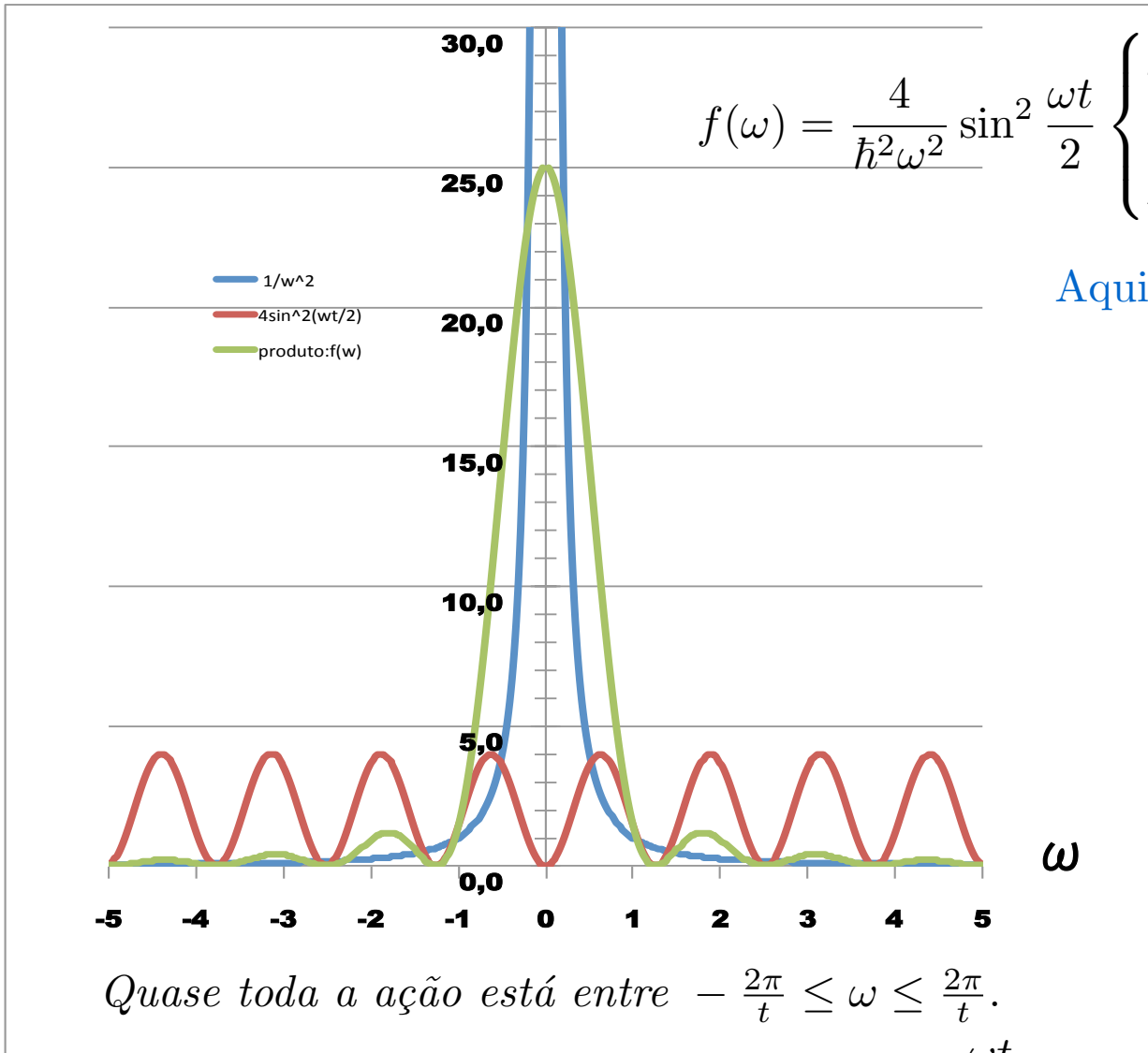
Teoria de Perturbação dependente do tempo: potencial constante



Quase toda a ação está entre $-\frac{2\pi}{t} \leq \omega \leq \frac{2\pi}{t}$.

Isso ocorre entre os primeiros zeros do $\sin^2 \frac{\omega t}{2}$.

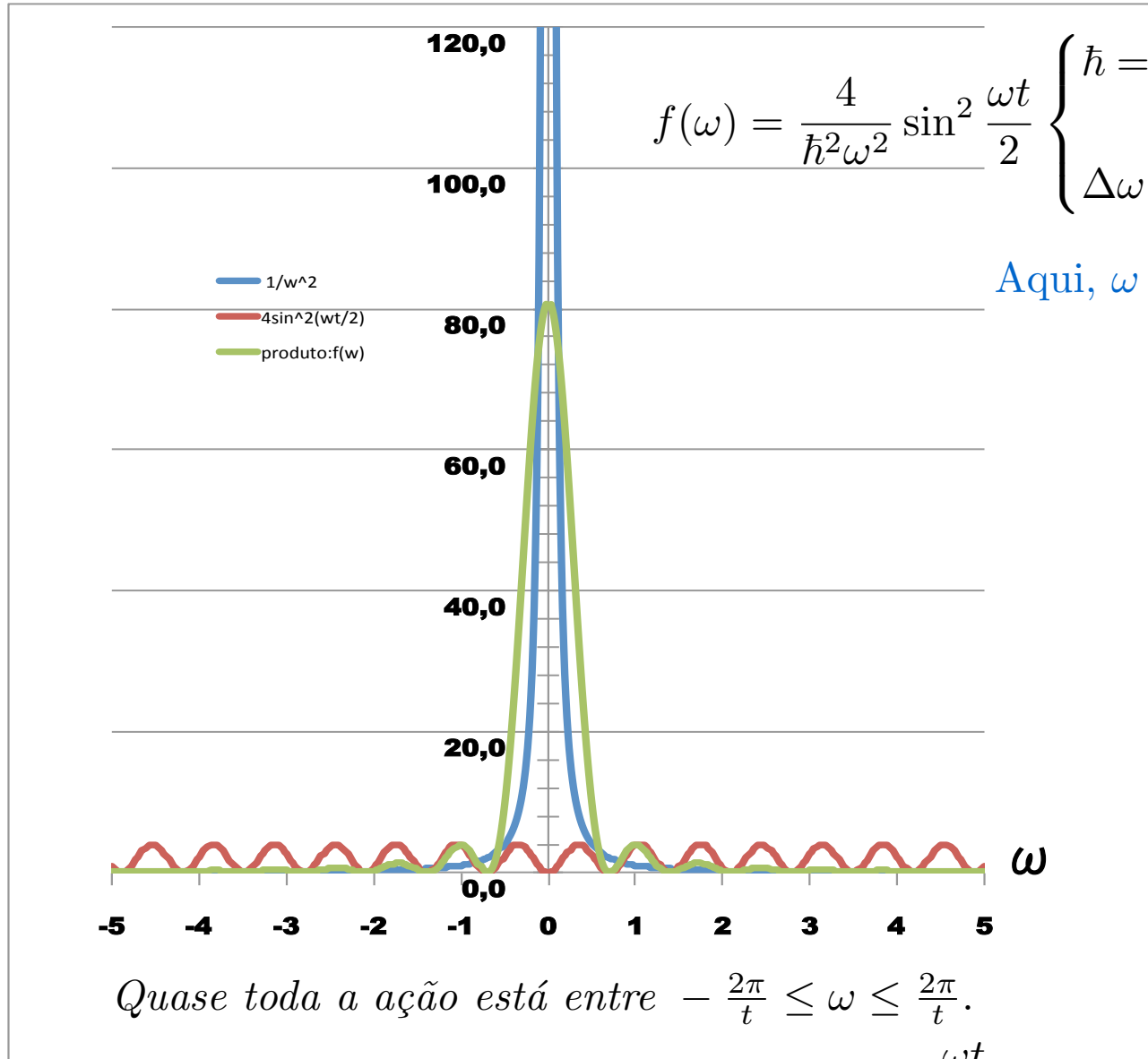
Teoria de Perturbação dependente do tempo: potencial constante



Quase toda a ação está entre $-\frac{2\pi}{t} \leq \omega \leq \frac{2\pi}{t}$.

Isso ocorre entre os primeiros zeros do $\sin^2 \frac{\omega t}{2}$.

Teoria de Perturbação dependente do tempo: potencial constante



Potencial constante, conclusões:

- O máximo de probabilidade ocorre em $\omega = 0$, com $E_n = E_i$.
- Quando t cresce, $f(\omega)$ fica apreciável no intervalo $0 \leq |\omega| \leq \frac{2\pi}{t}$. Isso permite escrever a largura em energia dos estados finais possíveis (estados que podem ser excitados por terem amplitudes de probabilidade relevantes). Para isso, tome $|\omega|_{max} = \frac{E_n^{max} - E_i}{\hbar} = \frac{\Delta E}{\hbar} \sim \frac{2\pi}{t} = \frac{2\pi}{\Delta t}$, onde $\Delta t = t$ é o tempo de potencial ligado. Pode-se expressar isso de uma forma conhecida: $\underbrace{\Delta E \Delta t}_{\text{largura em energia envolvida no processo}} \sim \hbar$.

largura em energia envolvida no processo

$\therefore \left\{ \begin{array}{l} \text{Se } \Delta t \text{ pequeno: a largura em energia é grande} \\ \text{Se } \Delta t \text{ grande: a largura em energia é pequena} \end{array} \right. \left\{ \begin{array}{l} \text{transições podem violar} \\ \text{a conservação de energia} \\ \text{transições respeitam} \\ \text{a conservação de energia} \end{array} \right.$

- Para transições “finas”, com $E_n = E_i$, temos $|c_n(t)|^2 = \frac{|W_{ni}|^2 t^2}{\hbar^2}$, ou seja, a probabilidade de haver mudança é quadrática em t . Precisamos discutir o significado disso. Antes dessa discussão, na próxima aula, apresentaremos dois exemplos de transições sem perda de energia (para $\Delta E = 0$.)

Perturbação senoidal entre dois estados discretos.

Um fenômeno de ressonância

- Caso cosseno: quando t está fixo, $\mathcal{P}_{if}(t)$ é uma função de ω (frequência imposta). Veremos que esta função tem um máximo quando $\omega \approx \omega_{fi}$ ou $\omega \approx -\omega_{fi}$.
- Tomando ω positivo (definição de nossa escolha), os dois casos tratam situações onde $\omega_{fi} > 0$ ou $\omega_{fi} < 0$.

E_f ————— $|\varphi_f\rangle$

E_i ————— $|\varphi_i\rangle$

absorve energia ($\hbar\omega$)

$$\omega_{fi} = \frac{E_f - E_i}{\hbar} > 0$$

E_i ————— $|\varphi_i\rangle$

E_f ————— $|\varphi_f\rangle$

emite energia ($\hbar\omega$)

$$\omega_{fi} = \frac{E_f - E_i}{\hbar} < 0$$

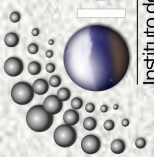
- Consideraremos o caso $\omega_{fi} > 0$ (situação da esquerda). As expressões do topo do slide 4 (cosseno) ou a do slide 3 (seno) mostram que trata-se da soma ou diferença de dois números complexos, A_+ e A_- com:

$$A_{\pm} = \frac{1 - e^{i(\omega_{fi} \pm \omega)t}}{\omega_{fi} \pm \omega} = -ie^{i\frac{(\omega_{fi} \pm \omega)t}{2}} \frac{\sin\left[\frac{(\omega_{fi} \pm \omega)t}{2}\right]}{\frac{(\omega_{fi} \pm \omega)}{2}}$$

Perturbação senoidal entre dois estados discretos.

Um fenômeno de ressonância

- Note que para $A_{\pm} = -ie^{i\frac{(\omega_{fi} \pm \omega)}{2}t} \frac{\sin[\frac{(\omega_{fi} \pm \omega)}{2}t]}{\frac{(\omega_{fi} \pm \omega)}{2}}$, os denominadores, respeitam as relações $\left\{ \begin{array}{l} \lim_{\omega \rightarrow -\omega_{fi}} \text{denominador de } A_{+} = 0 \therefore A_{+} \text{ cresce fortemente;} \\ \lim_{\omega \rightarrow +\omega_{fi}} \text{denominador de } A_{-} = 0 \therefore A_{-} \text{ cresce fortemente.} \end{array} \right.$
- Note que A_{\pm} só não explodem, porque os numeradores também vão à zero.
- Quando $\omega \rightarrow +\omega_{fi}(-\omega_{fi}) \Rightarrow A_{-}(A_{+})$ é dito termo ressonante.
- Consideraremos o caso $|\omega - \omega_{fi}| \ll |\omega_{fi}|$. Nesta situação, podemos negligenciar o termo A_{+} , e escrever: $\mathcal{P}_{if}(t) = \frac{|W_{fi}|^2}{4\hbar^2} [A_{+} \pm A_{-}]^2 = \frac{|W_{fi}|^2}{4\hbar^2} \left[\frac{\sin \frac{\omega_{fi} - \omega}{2} t}{\frac{\omega_{fi} - \omega}{2}} \right]^2$
- Compare com o caso estudado, potencial constante, do slide 4 e verifique que diferem apenas pela troca ω_{fi} por $\omega_{fi} - \omega$. Note também que $A_{\pm}(-\omega) = A_{\mp}(\omega)$.
- Note que $\lim_{\omega \rightarrow \omega_{fi}} \mathcal{P}_{if}(t) = \frac{|W_{fi}|^2}{4\hbar^2} t^2$. Isso acontecia no caso ω_{fi} indo à zero, para o potencial constante. Agora basta fazer a frequência imposta igual à frequência de Bohr que assistimos uma ressonância.
- Todas as figuras que fizemos, ficam agora centradas em ω_{fi} .



Perturbação senoidal entre dois estados discretos.

Um fenômeno de ressonância

F789

Aula 21

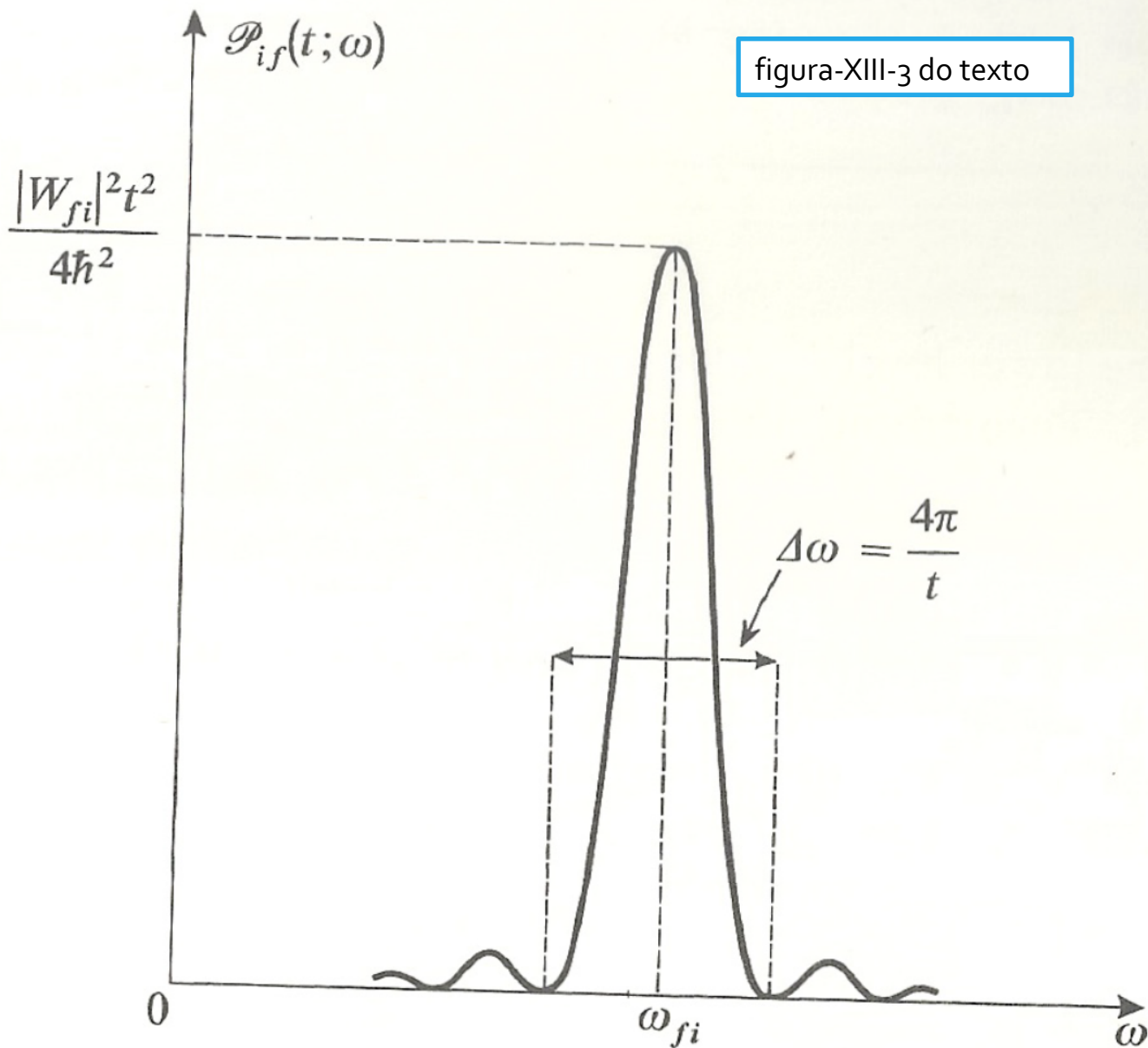


figura-XIII-3 do texto

Perturbação senoidal entre dois estados discretos.

Um fenômeno de ressonância

- Um novo olhar para a largura da ressonância e a relação de incerteza tempo-energia. Novamente, $\Delta\omega$ pode ser definido como a distância entre os 2 zeros de $\mathcal{P}_{if}(t)$ ao redor de ω_{fi} . Tais zeros são obtidos quando o argumento

do seno em $\mathcal{P}_{if}(t) = \frac{|W_{fi}|^2}{4\hbar^2} [A_+ \pm A_-]^2 = \frac{|W_{fi}|^2}{4\hbar^2} \left[\frac{\sin \frac{\omega_{fi}-\omega}{2} t}{\frac{\omega_{fi}-\omega}{2}} \right]^2$ são iguais à

$$\pm \pi. \text{ Isto é } \frac{\omega_{fi} - \omega_{\mp}}{2} t = \pm \pi \Rightarrow (\omega_+ - \omega_-) \frac{t}{2} = 2\pi \Rightarrow \Delta\omega = \frac{4\pi}{t}.$$

- Para o potencial constante no tempo, a largura foi associada a distribuição de estados finais. Agora, é a largura da frequência imposta ao redor de dois níveis. A mensagem é: as transições ocorrem se a frequência da perturbação estiver no intervalo $\omega_{fi} - \frac{2\pi}{t} < \omega < \omega_{fi} + \frac{2\pi}{t}$. Quanto maior for o tempo de exposição, menor pode ser a largura de frequências.

- Como $\mathcal{P}_{if}^{\max(1)}(t) = \lim_{\omega \rightarrow \omega_{fi}} \mathcal{P}_{if}(t) = \frac{|W_{fi}|^2}{4\hbar^2} t^2$, quanto vale a altura do segundo

máximo à sua direita? Ocorre com o “argumento do seno” $= \frac{3\pi}{2}$. 5% $\mathcal{P}_{if}^{\max(1)}(t)$

$$\therefore \frac{\omega_{fi} - \omega}{2} t = \frac{3\pi}{2} \Rightarrow \frac{\omega_{fi} - \omega}{2} = \frac{3\pi}{2t} \Rightarrow \mathcal{P}_{if}(t) = \frac{|W_{fi}|^2}{4\hbar^2} \left[\frac{1}{\frac{\omega_{fi} - \omega}{2}} \right]^2 = \frac{|W_{fi}|^2 t^2}{9\pi^2 \hbar^2}.$$

Perturbação senoidal entre dois estados discretos.

Um fenômeno de ressonância

- Validade do tratamento por perturbação.

Na nossa discussão, fizemos a hipótese que $\omega \approx \omega_{fi}$ e desprezamos A_+ com respeito à A_- . Seria bom comparar melhor A_+ com A_- . A figura do slide 13 diz respeito à A_- . Como seria A_+ ?

- Primeiro note (ver slide 12) que $|A_+(\omega)| = |A_-(-\omega)|$, simétrico com respeito à $\omega = 0$.

- Isso permite concluir que se a largura da ressonância for muito menor que a distância entre os picos de A_+ e A_- , A_+ pode ser negligenciado na região da ressonância. Ou seja, se $\Delta\omega \ll 2\omega_{fi}$ nossa análise está correta. Mas

lembre que $\Delta\omega = \frac{4\pi}{t}$ e essa exigência implica em $\frac{4\pi}{t} \ll 2\omega_{fi}$. Isso é o

mesmo que pedir que $t \gg \frac{2\pi}{|\omega_{fi}|} \approx \frac{2\pi}{\omega} = T$ (período de 1 de ciclo). Em outras

palavras, a aproximação é boa se no intervalo $[0, t]$ a perturbação realiza diversas oscilações (um convite ao sistema entrar em ressonância).

- A Perturbação constante $T = \infty$ nunca satisfaz a condição $t \gg \frac{2\pi}{\omega} = T$.

